

Tabelle 2: Verhalten der wichtigsten Regelkreisübertragungselemente

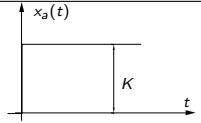
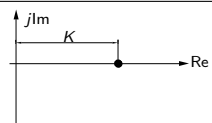
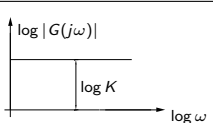
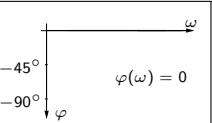
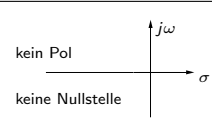
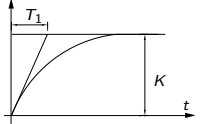
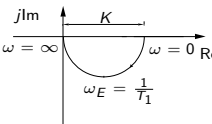
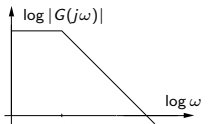
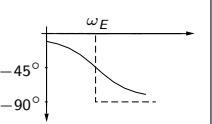
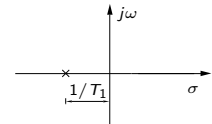
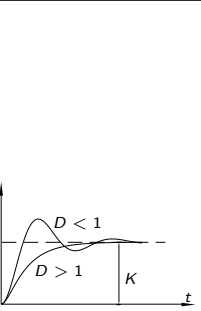
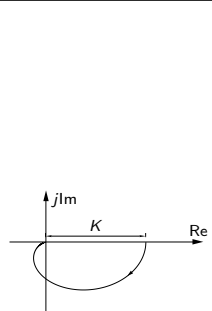
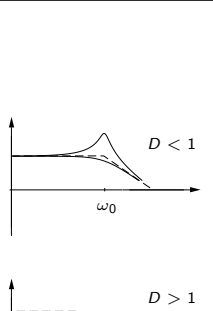
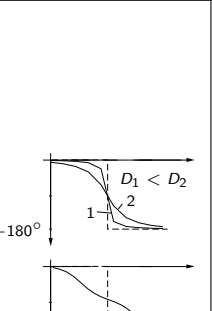
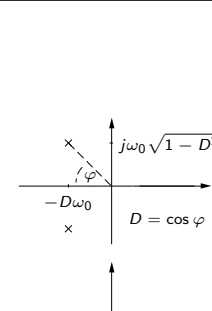


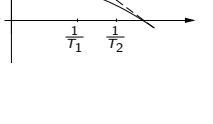
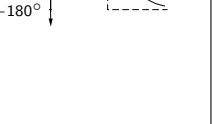
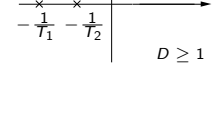
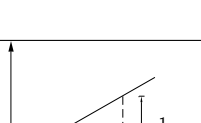
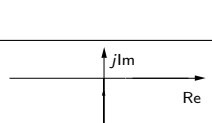
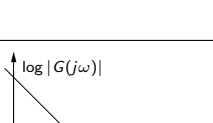
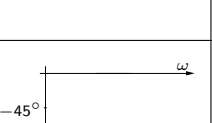
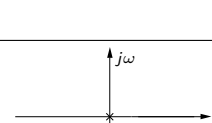
| System | Zeitbereich Bildbereich | Übergangsfunktion | Ortskurve | Bode-Diagramm | | s-Ebene | |
|--------|---|---|--|---|---|---|--|
| | | | | (Amplitudengang) | (Phasengang) | × Pol | ○ Nullstelle |
| P | $x_a(t) = K x_e(t)$ $G(s) = K$ |  |  |  |  |  | kein Pol keine Nullstelle |
| PT_1 | $T_1 \dot{x}_a(t) + x_a(t) = K x_e(t)$ $G(s) = K \frac{1}{1 + T_1 s}$ |  |  |  |  |  | $\frac{1}{T_1}$ |
| PT_2 | $\frac{1}{\omega_0^2} \ddot{x}_a(t) + \frac{2D}{\omega_0} \dot{x}_a(t) + x_a(t) = K x_e(t)$ $G(s) = K \frac{1}{\frac{1}{\omega_0^2} s^2 + \frac{2D}{\omega_0} s + 1}$ $D < 1$: konjugiert komplexe Wurzeln der char. Gleichung $\lambda_{1,2} = -\omega_0(D \pm j\sqrt{1-D^2})$ $D \geq 1$: reelle Wurzeln der char. Gleichung $\lambda_{1,2} = -\omega_0(D \pm j\sqrt{1-D^2}) = -1/T_{1,2}$ |  |  |  |  |  | $j\omega_0 \sqrt{1-D^2}$ $-D\omega_0$ $D = \cos \varphi < 1$ $-\frac{1}{T_1} - \frac{1}{T_2}$ $D \geq 1$ |
| I | $x_a(t) = \frac{1}{T_I} \int x_e dt$ $G(s) = \frac{1}{T_I s}$ |  |  |  |  |  | |
| IT_1 | $T_1 \dot{x}_a(t) + x_a(t) = \frac{1}{T_I} \int x_e(t) dt$ $G(s) = \frac{1}{T_I s(1 + T_1 s)}$ |  |  |  |  |  | $\frac{1}{T_I}$ |

Tabelle 2: Fortsetzung

| System | Zeitbereich Bildbereich | Übergangsfunktion | Ortskurve | Bode-Diagramm | | s-Ebene | |
|---------|---|-------------------|-----------|------------------|--------------|---------|--------------|
| | | | | (Amplitudengang) | (Phasengang) | × Pol | ○ Nullstelle |
| D | $x_a(t) = T_D \frac{dx_e}{dt}$ $G(s) = T_D s$ | | | | | | |
| DT_1 | $T_1 \dot{x}_a(t) + x_a(t) = T_D \frac{dx_e}{dt}$ $G(s) = T_D \frac{s}{1 + T_1 s}$ | | | | | | |
| PI | $x_a(t) = K \left[x_e(t) + \frac{1}{T_I} \int x_e(t) dt \right]$ $G(s) = K \left[1 + \frac{1}{T_I s} \right]$ | | | | | | |
| PIT_1 | $T_1 \dot{x}_a(t) + x_a(t) = K \left[x_e(t) + \frac{1}{T_I} \int x_e dt \right]$ $G(s) = K \frac{1 + \frac{1}{T_I s}}{1 + T_1 s}$ | | | | | | |
| PD | $x_a(t) = K \left[x_e(t) + T_D \frac{dx_e}{dt} \right]$ $G(s) = K \left[1 + T_d s \right]$ | | | | | | |
| PDT_1 | $T_1 \dot{x}_a(t) + x_a(t) = K \left[x_e(t) + T_D \frac{dx_e}{dt} \right]$ $G(s) = K \frac{1 + T_D s}{1 + T_1 s}$ | | | | | | |

Tabelle 2: Fortsetzung

| System | Zeitbereich Bildbereich | Übergangsfunktion | Ortskurve | Bode-Diagramm | | s-Ebene | |
|-------------------|--|-------------------|-----------|------------------|--------------|---|--------------|
| | | | | (Amplitudengang) | (Phasengang) | × Pol | ○ Nullstelle |
| PID | $x_a(t) = K \left[x_e(t) + \frac{1}{T_I} \int x_e dt + T_D \frac{dx_e}{dt} \right]$ $G(s) = K \left[1 + T_D s + \frac{1}{T_I s} \right]$ | | | | | | |
| PIDT ₁ | $T_1 \dot{x}_a(t) + x_a(t) = K \left[x_e(t) + \frac{1}{T_I} \int x_e dt + T_D \frac{dx_e}{dt} \right]$ $G(s) = K \frac{1 + T_D s + \frac{1}{T_I s}}{1 + T_1 s}$ | | | | | | |
| (P)T _t | $x_a(t) = K x_e(t - T_t)$ $G(s) = K e^{-s T_t}$ $K = 1 \text{ für reines } T_t\text{-Element}$ | | | | | <p>Pole bei $-\infty$ Nullstellen bei $+\infty$</p> | |